

## ЗАХВАТ ЭЛЕКТРОНА МНОГОЗАРЯДНЫМИ ИОНАМИ И ЯДРАМИ АТОМОВ ИЗ МОЛЕКУЛ ВОДОРОДА

*В.В.Афросимов, А.А.Басалаев, Е.Д.Донец,  
М.Н.Панов*

Измерены сечения захвата электрона ядрами  $C^{+6}$ ,  $O^{+8}$ ,  $N^{+7}$ ,  $Ne^{+10}$ , а также ионами этих элементов и ионами  $A_g^{+z}$  ( $z < 10$ ) при кинетической энергии  $E = 1 z$  КэВ. Обнаружен немонотонный рост величины сечения захвата с увеличением заряда ядер.

Одним из каналов потерь энергии высокотемпературной плазмой, получаемой в установках для управляемого термоядерного синтеза, является излучение возбужденных ионов примесей, образующихся в результате процесса захвата электрона ионами у атомов, имеющихся в плазме. Поэтому определение сечений процесса захвата весьма важно.

В плазме современных термоядерных установок легкие примеси существуют преимущественно в виде ядер. Однако из-за экспериментальных трудностей получения пучков ядер элементов достаточной интенсивности с энергией, соответствующей энергиям ионов в плазме ( $E = 1 \div 10$  КэВ), в настоящее время нет экспериментальных величин сечений захвата ядрами с  $z > 2$ . Расчеты сечений, использующие различные модельные представления [1 – 3], дают при фиксированной скорости относительного движения сталкивающихся частиц отличные друг от друга зависимости сечений от заряда налетающего иона  $z$ .

В настоящей работе были впервые измерены сечения захвата электрона ядрами и многозарядными ионами углерода, азота, кислорода, неона, а также ионами аргона из молекул  $H_2$  при энергии 1 $z$  КэВ, которая соответствует скорости ядер  $v = 0,31 \cdot 10^8$  см/сек (0,14 ат. ед.). Пучки ионов и ядер были получены из источника "Крион-2", созданном в ЛВЭ ОИЯИ [4]. Для измерения сечений использовался анализ зарядового состава пучка быстрых частиц, прошедших газовую мишень из водорода в условиях однократных столкновений. Полученные данные о величинах сечений захвата одного электрона приведены в таблице в единицах  $10^{-16}$  см $^2$ . Ошибки при измерении сечений составляли  $\pm 20\%$ . Там же даны сечения для протонов и ядер гелия при той же скорости столкновения из работ [5, 6].

$z \backslash$	+ 1	+ 2	+ 3	+ 4	+ 6	+ 7	+ 8	+ 9	+ 10
H	3,4 [5]	–	–	–	–	–	–	–	–
He	–	5,6 [6]	–	–	–	–	–	–	–
C	–	–	–	8,8	49,7	–	–	–	–
N	–	2,7	–	–	44,8	19,6	–	–	–
O	–	4,0	18	–	60,6	24,9	57,4	–	–
Ne	–	–	28,2	–	59	–	57,2	50,7	115
Ar	–	–	20,3	–	46,5	59,3	53,6	62,5	43,3

Из таблицы видно, что сечения захвата ионами одной и той же зарядности и обладающими близкими скоростями ( $C^{+6} - N^{+6}, N^{+7} - O^{+7}, O^{+8} - Ne^{+8}$ ) различаются не сильно. Это отражает тот факт, что захват происходит на больших расстояниях между частицами ( $R \sim 10$  ат. ед.), что следует прямо из величин сечений и идет на возбужденные уровни иона. В результате влияние внутренней структуры иона на сечение невелико. В работах [1, 7] было предложено описывать сечение захвата универсальной степенной функцией  $\sigma = A z^B$ . Данные настоящей работы лучше всего согласуются с такой зависимостью при  $A = 3,6$  и  $B = 1,4$  (рис. 1, сплошная кривая). Однако такую аппроксимацию зависимости  $\sigma = f(z)$  следует рассматривать как чисто феноменологическую, поскольку процессы захвата  $H^+$  и  $He^{+2}$  [5, 6] являются эндотермическими, а ионами  $C^{+6}, N^{+7}, O^{+8}, Ne^{+10}$  – экзотермическими и имеют различные механизмы электронного перехода. Кроме того, как видно из рис. 1, наб-

людится нарушение монотонного роста сечений с увеличением заряда для пары  $N^{+7} - H_2$ . По-видимому, это является следствием малого числа квазипересечений кривых потенциальной энергии начального и конечного состояний для пар с  $z < 10$ .

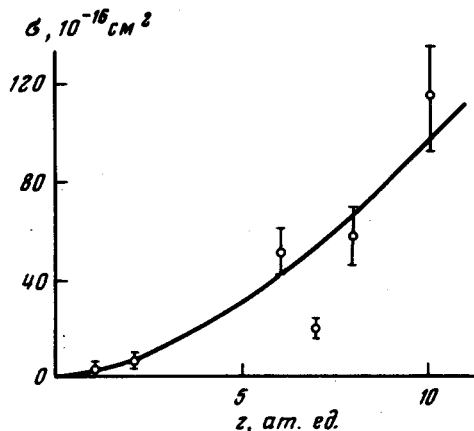


Рис.1. Зависимость сечения одноэлектронного захвата от заряда налетающего ядра при  $v = 0,31 \times 10^8 \text{ см/сек}$ . Сплошная кривая  $\sigma_z = 3,6 z^{1.4} \cdot 10^{-16} \text{ см}^2$

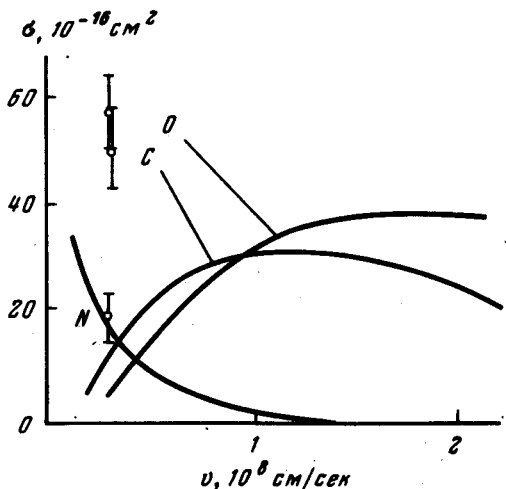


Рис.2. Зависимость сечения одноэлектронного захвата от скорости налетающих ядер  $C^{+6}$ ,  $N^{+7}$  и  $O^{+8}$

В рамках модели Ландау – Зинера нами сделан расчет величины сечений для ионов  $C^{+6}$ ,  $N^{+7}$  и  $O^{+8}$  (кривые на рис. 2). При этом ввиду больших межядерных расстояний, на которых происходит захват, молекула  $H_2$  рассматривалась как атом с соответствующим потенциалом ионизации ( $I_{H_2} = 15,43$  эВ). Точки квазипересечений определялись по расстояниям  $R$ , отвечающим равенству дефектов энергии для  $R = \infty$  процесса захвата в электронное состояние с главным квантовым числом  $n$  и энергией кулоновского отталкивания в конечных состояниях, а матричный элемент взаимодействия определялся на основе формул

из работы Селопа и Олсона [8]. В случае  $N^{+7} - H_2$  реализуется ситуация, когда захват определяется квазипересечением при  $R = 14,65$  ат.ед. ( $n=5$ ) и которое система при исследуемой скорости, проходит почти адиабатически ввиду слабого взаимодействия термов на таком значительном расстоянии  $R$ . Это пересечение дает малую величину сечения захвата при  $v = 0,14$  ат.ед. Более близкое квазипересечение для  $n = 4$  при  $R = 6,22$  ат.ед. не дает вклада в сечение из-за сильного расщепления термов. Для ионов  $C^{+6}$  и  $O^{+8}$  точки квазипересечений лежат при  $R = 8,96$  для  $n = 5$  иона  $C^{+5}$  и  $R = 9,82$  для  $n = 6$  иона  $O^{+7}$ , где вероятность переходов достаточно велика. Рис. 2 показывает, что имеется область скоростей, где соотношения сечений захвата для  $N^{+7}$ ,  $C^{+6}$  и  $O^{+8}$  соответствует экспериментально измеренным ( $v \sim 6 \cdot 10^7$  см/сек). Однако экспериментальные величины сечений при  $v = 3 \cdot 10^7$  см/сек отличаются от вычисленных — расчетные кривые  $\sigma(v)$  сдвинуты в сторону больших скоростей сближения частиц. Это указывает на то, что величины матричных элементов, полученные согласно формулам работы [8], дают в случае взаимодействия многозарядный ион — молекула водорода завышенные значения.

Авторы выражают глубокую благодарность члену-корреспонденту АН СССР А.М.Балдину за содействие в постановке экспериментальной работы.

Физико-технический институт  
им. А.Ф.Иоффе  
Академии наук СССР

Поступила в редакцию  
30 марта 1980 г.

## Литература

- [1] R.E.Olson, A.Salop. Phys. Rev., A13, 1312, 1976.
- [2] Л.П.Пресняков, А.Д.Уланцев. Квантовая электроника, 1, 2377, 1974.
- [3] М.И.Чибисов. Письма в ЖЭТФ, 24, 56, 1976.
- [4] Е.Д.Донец, В.П.Овсянников. Препринт ОИЯИ Р-7-10780, Дубна, 1977.
- [5] В.В.Афросимов, Г.А.Лейко, М.Н.Панов, Ю.А.Мамаев. ЖЭТФ, 56, 1204, 1969.
- [6] В.В.Афросимов, Г.А.Лейко, М.Н.Панов. ЖТФ, 50, 519, 1980.
- [7] A.Muller, F.Salzborn. Phys. Lett., 62A, 391, 1977.
- [8] R.E.Olson, A.Salop. Phys. Rev., A14, 579, 1976.